

شبیه‌سازی عددی شکل‌گیری توپوگرافی بستر در قوس با آبگیر جانبی با مدل عددی SSIIM2*

حسین آسیائی^(۱) حسین منتصری^(۲)

چکیده الگوی فرسایش و رسوبگذاری در قوس رودخانه‌ها به دلیل وجود جریان حلزونی دارای پیچیدگی فراوانی است. غالب مطالعات انجام شده در زمینه‌ی مورفولوژی رودخانه‌ها به مطالعه‌ی تغییرات توپوگرافی بستر پرداخته‌اند و مکانیسم‌های شکل‌گیری و تغییرات تراز بستر ناشناخته مانده‌اند. در تحقیق حاضر روند شکل‌گیری توپوگرافی بستر در یک کانال قوسی ۱۸۰° با آبگیر جانبی و مکانیسم‌های ورود رسوبات به آبگیر توسط مدل SSIIM2 شبیه‌سازی شده است. برای مشاهده‌ی نحوه‌ی شکل‌گیری فرم‌های بستر، مدل با زمان‌های مختلف اجرا شده و خروجی‌ها با نتایج آزمایشگاهی مقایسه شده است. همچنین اثر دبی آبگیری بر نحوه‌ی حرکت رسوبات و مکانیسم‌های ورود رسوبات به آبگیر بررسی شده است. نتایج حاصل از مدل عددی نحوه‌ی حرکت رسوبات در قوس، مکانیسم‌های ورود رسوبات به آبگیر، محل تشکیل دیون‌های متناوب در بالادست آبگیر، محل تشکیل پشته‌های رسوبی را به خوبی شبیه‌سازی نموده است. همچنین توپوگرافی بستر در زمان تعادل و ارتفاع تراز بستر در مقاطع عرضی مختلف با نتایج آزمایشگاهی مقایسه شده است و خطای محاسبه شده نشان داد که بیشترین اختلاف در جلوی دهانه‌ی آبگیر می‌باشد.

واژه‌های کلیدی شبیه‌سازی عددی، توپوگرافی بستر، قوس ۱۸۰° درجه، آبگیر جانبی، تزریق رسوب.

Numerical Investigation of Formation of Bed Topography in a U Shape Channel Bend with Lateral Intake with SSIIM2

H. Asiaei

H. Montaseri

Abstract The mechanism of flow and sediment transport in channel bend is much complex. Because of secondary current, the sediment moves away from outer bank toward inner bank and therefore outer bank of the bend is one of best positions for lateral diversion. In this paper, the mechanism of sediment transport was simulated with SSIIM software in the U shape channel with lateral intake. In order to verify the numerical model results used in Montaseri's lab studies, The position of injection was upstream of bend and sediment injection rate was approximately is equal to 250 gr/min and Frude number is equal to 0.32. The SSIIM numerical model solves the Navier-Stokes equations with the k-ε model on a three-dimensional. The bed load can be calculated Van Rijn' formula. The numerical model has been implemented at various times to see how the formation and development of bed forms in the U shape channel with lateral intake. The numerical results show that the prediction of development of bed forms, mechanism of sediment entry to intake, location of intermittent dune and location of sediment accumulation are in fairly good agreement with experimental data and the maximum error occurred in front of intake.

Keywords Sediment Transport, U Shape Channel, lateral Intake, Injection of Sediment, Bed Form.

* تاریخ دریافت مقاله ۹۲/۹/۱۷ و تاریخ پذیرش آن ۹۳/۹/۳ می‌باشد.

(۱) نویسنده‌ی مسئول، دانش‌آموخته‌ی کارشناسی ارشد عمران، دانشکده فنی و مهندسی، دانشگاه یاسوج.

(۲) استادیار، گروه عمران، دانشکده فنی و مهندسی، دانشگاه یاسوج.

مقدمه

مسئله‌ی انتقال رسوب یکی از موضوعات جالب توجه برای طیف گسترده‌ای از علوم و شاخه‌های مهندسی می‌باشد. به بیان ساده پدیده‌ی انتقال رسوب عبارت است از فرسایش رسوبات از یک مکان و انتقال آن به وسیله‌ی جریان آب به مکان دیگر. ذرات رسوب به سه شیوه‌ی غلتیدن (لغزش)، جهیدن و به صورت معلق شدن انتقال می‌یابند. بر این اساس انتقال ذرات رسوب به صورت بار معلق و بار بستر تقسیم‌بندی شده است. اگرچه بیشتر رسوبات به صورت بار معلق انتقال پیدا می‌کنند ولی بار بستر عامل مهمی در نحوه‌ی تشکیل فرم بستر مانند ایجاد ریپل‌ها و دیون‌ها دارد. این پدیده‌ها نیز در مراحل بعد بر روی شرایط جریان تأثیر می‌گذارد.

مکانیزم جریان در آبراهه‌های قوسی بسیار پیچیده‌تر از آبراهه‌های مستقیم است. از مشخصه‌های ویژه‌ی آبراهه‌های قوسی می‌توان به وجود جریان حلزونی در آنها اشاره نمود که از اندرکنش جریان ثانویه در مقطع عرضی و جریان طولی آبراهه حاصل می‌شود. جریان حلزونی نقش به‌سزایی در شکل‌گیری پروفیل عرضی، تراز بستر و تنش برشی در کف آبراهه‌ها دارد. در اثر وجود جریان ثانویه مشاهده می‌گردد، حرکت عرضی رسوبات در کف آبراهه‌ها به نحوی است که رسوبات را از ساحل خارجی به ساحل داخلی هدایت می‌کند. با توجه به این که یکی از اهداف مهم در طراحی آبگیر جانبی، انتخاب محلی است که رسوبات کمتری وارد آبگیر گردد، بنابراین ساحل خارجی رودخانه‌ها می‌تواند به‌عنوان مکان مناسبی برای احداث آبگیر جانبی محسوب شود. اندرکنش جریان حلزونی قوس و الگوی سه‌بعدی جریان در آبگیرهای واقع در قوس خارجی رودخانه بر پیچیدگی مکانیسم‌های جریان و رسوب می‌افزاید.

در تحقیق حاضر با استفاده از مدل SSIIM2 به شبیه‌سازی عددی تغییرات زمانی توپوگرافی بستر با روش تزریق رسوب روی بستر صلب در یک کانال قوسی ۱۸۰ درجه با آبگیر جانبی پرداخته شده است.

مروری بر مطالعات انجام‌شده

مطالعات آزمایشگاهی و تحلیلی بسیاری روی جریان و رسوب در آبراهه‌های قوسی انجام گرفته است. رزوفسکی [1] و یان [2] به بررسی مشخصات جریان و توزیع تنش برشی در قوس با بستر صلب پرداختند. یان (۱۹۶۷) نیز مشخصات جریان و اندرکنش آن با تغییرات بستر را مورد مطالعه قرار داد [3]. انگلند [4] کیکاوا و همکاران [5] و فالکن و کندی [6] شرح دقیق‌تری از جریان و شکل تغییرات بستر در رودخانه‌های قوسی با جریان دائم ارائه کردند. آن در سال ۱۹۷۰ به بررسی اثر غیریک‌نواختی مصالح بر موقعیت پشت‌پشته‌ی رسوبی با توجه به نیروهای وارد بر ذرات رسوب در بستر آبرفتی پرداخت [7]. کخ و فلوکسترا در سال ۱۹۸۱ نیز با انجام آزمایش‌هایی بر روی کانال قوسی ۱۸۰ درجه با رسوبات دارای دانه‌بندی یکنواخت، به بررسی تغییرات بستر پرداختند [8]. ادگارد (۱۹۸۲) با توجه به مفهوم تنش برشی بحرانی و تعادل نیروها، بین مؤلفه‌ی عرضی تنش برشی و مؤلفه عرضی وزن، توزیع اندازه‌ی دانه‌ها در عرض کانال قوسی را تعیین نمود [9]. ادگارد و برگس (۱۹۸۸) با انجام آزمایش‌هایی بر روی کانال قوسی ۱۸۰ درجه با مقطع دوزنقه‌ای شکل به بررسی تغییرات بستر و اندرکنش آن با میدان سرعت پرداختند و علت نوسانی بودن بستر واقع در منطقه توسعه‌یافته (نیمه‌ی دوم قوس) را ناشی از الگوی نوسانی بردار عرضی سرعت در امتداد طولی کانال معرفی نمودند [10].

مطالعه‌ی الگوی جریان و توپوگرافی بستر در قوس رودخانه‌ها در داخل کشور نیز مورد توجه قرار گرفته است که از مطالعات انجام‌گرفته در این زمینه می‌توان به مطالعات شفاعی بچستان و نظری در سال ۱۳۷۸ اشاره نمود که به اثر زاویه‌ی آبگیری بر میزان رسوب ورودی به آبگیر جانبی پرداختند [11]. هم‌چنین پیرستانی (۱۳۸۳) با انجام مطالعات آزمایشگاهی در یک قوس ۱۸۰ درجه به بررسی اثر موقعیت و زاویه‌ی آبگیری بر الگوی جریان ورودی به آبگیر پرداخت [۱۲]. دهقانی (۱۳۸۵) به بررسی اثر موقعیت و زاویه‌ی

مدل آزمایشگاهی و هم در مقایسه با اندازه‌گیری‌های صحرائی به‌خوبی نشان می‌دهد ولی عمق حفرة آب‌شستگی را کمتر و محل آن را اندکی جلوتر پیش‌بینی می‌نماید [۱۷]. کرمی مقدم و همکاران (۱۳۸۹) به مطالعه‌ی آزمایشگاهی و عددی الگوی جریان در آبگیر ۳۰ درجه منشعب از کانال ذوزنقه‌ای در مسیر مستقیم پرداختند و نشان دادند با افزایش نسبت آبگیری مقدار عرض صفحه تقسیم جریان افزایش می‌یابد [۱۸].

مدل آزمایشگاهی

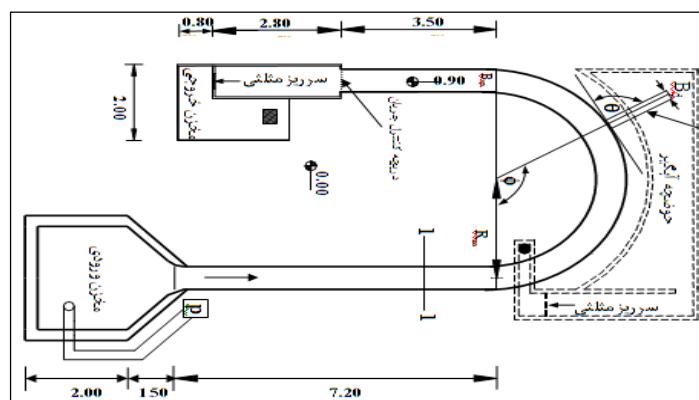
مدل آزمایشگاهی مربوط به مطالعات منتصری (۱۳۸۷) می‌باشد. این مدل شامل یک کانال U شکل با شعاع متوسط ۲/۶ متر و عرض ۰/۶ متر می‌باشد. شکل (۱) نمایی از کانال آزمایشگاهی را نشان می‌دهد. در قسمت بالادست قوس یک کانال مستقیم به طول ۷/۲ متر و در پایین دست قوس کانال مستقیمی به طول ۵/۲ متر وجود دارد. جداره‌های کانال از جنس پلکسی گلاس و کف کانال از جنس شیشه است. در موقعیت ۱۱۵ درجه از قوس، کانال آبگیر با زاویه‌ی ۴۵ درجه نسبت به امتداد جریان در کانال اصلی نصب گردید. عرض و طول کانال آبگیر به ترتیب ۲۵ سانتی‌متر و ۲/۵ متر می‌باشد [۱۵].

انحراف آبگیر جانبی بر توپوگرافی بستر در قوس ۱۸۰ درجه پرداخت [۱۳]. ابوالقاسمی (۱۳۸۵) در یک کانال مئاندری به بررسی توپوگرافی بستر با حضور آبگیر جانبی پرداخت [۱۴] هم‌چنین منتصری (۱۳۸۷) در قسمتی از پایان‌نامه‌ی دکترای خود به بررسی نحوی حرکت ر سوبات تزریق شده در یک کانال قوسی ۱۸۰ درجه با بستر صلب و آبگیر جانبی برای دبی‌های آبگیری متفاوت و اعداد فرود متفاوت پرداخت [۱۵].

اما در زمینه‌ی شبیه‌سازی با مدل عددی SSIIM

می‌توان به موارد زیر اشاره کرد.

منتصری در سال ۱۳۸۵ در قالب پایان‌نامه‌ی کارشناسی ارشد به شبیه‌سازی جریان در قوس ۱۸۰ درجه با بستر صلب و نیز تغییرات تراز بستر متحرک با استفاده از مدل عددی SSIIM پرداخت و نشان داد که مدل عددی توانایی خوبی در مدل‌سازی الگوی جریان و تغییرات تراز بستر مورد انتظار در قوس ۱۸۰ درجه به‌خوبی توسط مدل پیش‌بینی شده‌است [۱۶]. شکیبائی‌نیا و همکاران در سال ۱۳۸۷ با استفاده از مدل عددی SSIIM به شبیه‌سازی جریان و محاسبه‌ی سطح آزاد و محاسبه‌ی تغییرات توپوگرافی بستر در آبگیری از یک مسیر مستقیم پرداختند و نشان دادند مدل عددی قادر است توزیع سرعت و جریان‌های چرخشی را به‌خوبی مدل‌سازی نماید. در پیش‌بینی تغییرات بستر و عمق آب‌شستگی، مدل روند تغییرات بستر را هم در



شکل ۱ نمایی از کانال آزمایشگاهی همراه با آبگیر جانبی

هیدرولیکی و S_0 شیب بستر، s چگالی ذرات ر سوب و d قطر متوسط ذرات رسوب می‌باشد.

مدل عددی

امروزه مدل‌های عددی دوبعدی و سه‌بعدی گوناگونی با توانایی‌هایی متفاوتی در زمینه‌ی حل میدان جریان و رسوب وجود دارد. به‌طور کلی این مدل‌های عددی دینامیک سیالاتی (CFD) را می‌توان به دو دسته‌ی کلی تقسیم‌بندی کرد، دسته‌ی اول مدل‌هایی هستند که از آنها برای اهداف متفاوت استفاده می‌شود و در واقع همه‌منظوره هستند مانند: FLOW-3D, FLUENT و CFX. اما دسته‌ی دوم مدل‌های عددی هستند که به‌طور خاص برای تحقیقات در زمینه‌ی مهندسی رودخانه طراحی شده‌اند مانند: DELFT3D, MIKE 21 و CCH3D و SSIIM.

مدل SSIIM در سال‌های ۹۱-۱۹۹۰ نوشته شده است. این مدل توسط پروفیسور السن در دانشگاه علوم تکنولوژی نورث توسعه داده شده است. این برنامه در زمینه‌ی مهندسی رودخانه، محیط زیست، هیدرولیک و رسوب کاربرد دارد. قابلیت این نرم‌افزار در بررسی حرکت ذرات رسوب در بسترهای متحرک رودخانه و نیز مقاطع پیچیده‌ی هندسی می‌باشد. به این مسأله، موضوعات اندازه‌های مختلف رسوب، دانه‌بندی، بار بستر و بار معلق، فرم بستر و تأثیرات شیب بستر را نیز می‌توان اضافه کرد. در تغییرات و به‌روزرسانی‌های جدید این برنامه، مدل‌های مربوط به شرایط خشک‌شدن - ترشدن در شبکه‌های غیرمنظم برای مدل‌سازی مقاطع پیچیده مورفولوژی فراهم شده است. مدل SSIIM2 معادله‌ی ناویر-استوکس با استفاده از دو مدل آشفتگی $k-\epsilon$ استاندارد و در حالت RNG در یک محیط سه‌بعدی و شبکه‌ی غیرمتعامد در حالت جریان‌های پایدار و ناپایدار تحلیل می‌شود. در این تحلیل از روش حجم کنترل همراه با استفاده از طرح‌های قانون توانی و مرتبه دوم بالادستی استفاده می‌شود. برای جفت‌شدگی و همسان‌سازی فشارها از

دبی جریان در مدل آزمایشگاهی 40 لیتر بر ثانیه و دبی آبیگری 30% و عدد فرود جریان 0.32 می‌باشد. در مدل آزمایشگاهی برای مطالعه‌ی تغییرات توپوگرافی بستر، از روش تزریق رسوب روی بستر صلب استفاده شده است. لذا پس از تنظیم جریان، تزریق رسوبات با دانه‌بندی یکنواخت و قطر متوسط $1/28$ میلی‌متر توسط دستگاه تزریق رسوب به صورت پیوسته از بالادست قوس انجام شده است. محل تزریق رسوبات 2 متر بالاتر از ابتدای قوس که شرایط جریان یکنواخت برقرار است، انتخاب شده است. نرخ دستگاه تزریق رسوب برابر حداکثر قدرت حمل جریان انتخاب گردیده است تا رسوب‌گذاری در مسیر بالادست قوس انجام نشود و فقط رسوب‌گذاری در قوس و تحت اثر جریان حلزونی قوس و اندرکنش آن با آبیگری صورت گیرد. نرخ تزریق رسوب برابر 250 گرم بر دقیقه در مدل آزمایشگاهی انتخاب شده است که همین مقدار نیز در مدل عددی اعمال گردید. زمان انجام آزمایش‌ها 6 ساعت انتخاب گردیده است. برای اندازه‌گیری سرعت در آزمایشگاه از دستگاه سرعت‌سنج سه‌بعدی و کترینو که نمونه‌ی جدید سرعت‌سنج‌های ADV است و برای برداشت توپوگرافی بستر از متر لیزری استفاده می‌شود. دقت این وسیله در حد صدم میلی‌متر است.

با توجه به شرایط آزمایشگاهی حرکت رسوبات به‌صورت بار بستر می‌باشند. طبق معیار فن راین (۱۹۸۴) برای آن‌که ذرات به‌صورت بار بستر حرکت نمایند و معلق نشوند باید رابطه‌ی (۱) برقرار باشد [19]:

$$\frac{u_*}{\omega_s} < 0.25 \quad (1)$$

در رابطه‌ی بالا u_* و ω_s به‌ترتیب سرعت برشی و سرعت سقوط می‌باشد که از روابط زیر به‌دست می‌آید:

$$u_* = \sqrt{\frac{\tau_b}{\rho}} = \sqrt{gRS_0} \quad (2)$$

$$\omega_s = 1.1[(s-1).g.d]^{0.5} \quad (3)$$

که در روابط فوق τ_b تنش برشی بستر، R شعاع

(k) اعمال می‌گردد و برای پارامتر مزبور نیز در سطح آب مقدار صفر اعمال می‌شود. برای شرایط مرزی جداره، SSIM از قانون جداره برای مرزهای زیر در سلول‌های مجاور جداره استفاده می‌شود.

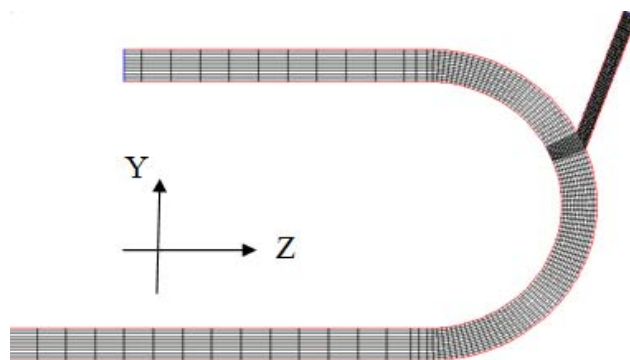
مش‌بندی میدان جریان

مش‌بندی میدان مورد مطالعه بسیار حائز اهمیت می‌باشد. زیرا نحوه‌ی مش‌بندی در سرعت هم‌گرا شدن و دقت نتایج مدل بسیار حائز اهمیت می‌باشد. بنابراین با توجه به اهمیت نواحی مختلف، مش‌بندی‌های متفاوتی انجام گردیده‌است. در دو قسمت مستقیم کانال فاصله‌ی مش‌ها مقادیر بزرگ‌تری نسبت به مش‌های موجود در قوس دارند و دهانه‌ی آبگیر مش‌بندی دارای مقادیر ریزتری نسبت به سایر نقاط قوس می‌باشد. نکته‌ی مهم دیگری که در مش‌بندی میدان جریان در SSIM2 وجود دارد این است که به دلیل ساختار پیچیده‌ی فایل unstruc قادر به ساخت هندسه‌های پیچیده نمی‌باشیم بنابراین کانال قوسی ۱۸۰ درجه در SSIM1 ساخته می‌شود و به SSIM2 انتقال داده می‌شود ولی آبگیر به دلیل هندسه‌ی ساده‌تر در SSIM2 ایجاد شده‌است (شکل ۲). اطلاعات مربوط به فواصل مش‌ها در جدول (۱) آمده‌است.

الگوریتم SIMPLE^۱ استفاده می‌شود. در این تحلیل از روش‌های ضمنی برای تولید میدان سرعت در هندسه بهره‌گرفته می‌شود. کاربر قادر می‌باشد تمامی ضرایب تجربی مدل‌های آشفتگی را به‌منظور بهبود نتایج تغییر دهد [20].

شرایط مرزی

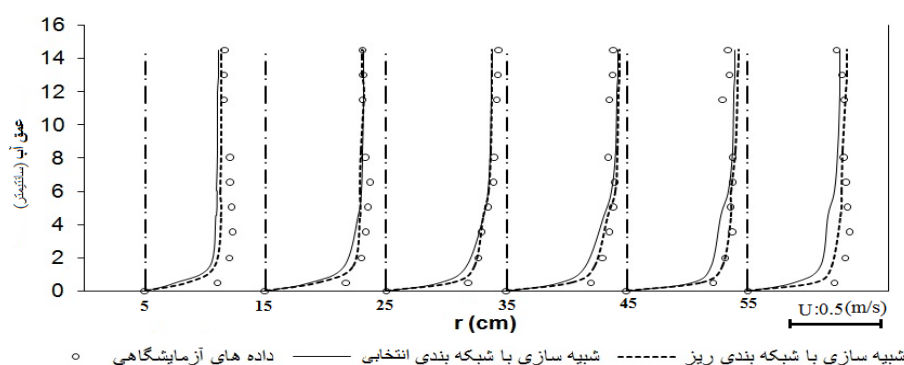
یکی از تنظیمات اصلی مدل اعمال شرایط مرزی به مدل است. برای اعمال شرایط مرزی سرعت و آشفتگی در ورودی بالادست میدان، از شرط مرزی دیریکله استفاده شده‌است. استفاده از شرط مرزی دیریکله به این معناست که مقادیر متغیرها در مرز معین باشد. اعمال این شرایط در مدل SSIM2، با تعیین دبی و تراز سطح آب در پایین‌دست و هم‌چنین مشخص کردن عدد استریکلر اعمال می‌شود. هم‌چنین در این مرز لازم است تا مقادیر پارامترهای آشفتگی نظیر انرژی جنبشی (k) و استهلاک (ε) به مدل اعمال شود. در مرز خروجی با توجه به طول مسیر مستقیم بعد از قوس در پایین‌دست، برای تمام متغیرها شرایط مرزی گرادیان صفر اعمال می‌شود. شرط عدم تغییر مشخصات جریان در جهت عمود بر مرز خروجی با این طول در مقطع خروجی حاصل شود. در سطح آب نیز، شرط مرزی گرادیان صفر برای تمام متغیرها به‌جز انرژی جنبشی



شکل ۲ نحوه‌ی مش‌بندی کف کانال

جدول ۱ فواصل مش‌بندی میدان حل در راستای طولی، عرضی و قائم در نواحی مختلف

راستای قائم		راستای عرضی		راستای طولی	موقعیت
از کف تا تراز	از تراز 1cm تا تراز	دور از دیواره‌ها	نزدیک دیواره‌ها (0-3cm از دو طرف)		
15mm	14.5cm	20mm	5mm	۰/۳ متر	قسمت مستقیم
15mm	1cm	20mm	5mm	۲ درجه	کانال قوسی
15mm	2mm	20mm	5mm	۰/۵ درجه	قوس در دهانه‌ی آبگیر
15mm	2mm	16.7mm	16.7mm	۰/۰۶۲۵ متر	کانال آبگیر



شکل ۳ بررسی تأثیر شبکه‌بندی بر پروفیل‌های قائم سرعت مماسی مقطع ۳۰ درجه

پروفیل سرعت در عمق کانال را پیش‌بینی کنند. با این وجود شبکه‌ی ریزتر از دقت بیشتری در پیش‌بینی پروفیل‌های سرعت به‌خصوص در نواحی نزدیک به بستر نیز همان‌گونه که دیده می‌شود برخوردار است. شبکه‌ی ریزتر توانسته است جواب‌های نزدیک‌تری به نتایج آزمایشگاهی داشته باشد.

یکی دیگر از عوامل مؤثر در انتخاب شبکه در مدل‌سازی عددی، زمان اجرای محاسبات (CPU Time) می‌باشد. زمان‌های اجرای محاسبات برای دو شبکه به تفکیک در جدول (۲) آورده شده‌است. همان‌طور که دیده می‌شود با توجه به این‌که زمان اجرای محاسبات شبکه‌ی انتخابی تقریباً ۵ برابر کمتر از شبکه‌ی ریز می‌باشد و هر دو شبکه از دقت قابل قبولی نیز برخوردار می‌باشند لذا شبکه‌ی انتخابی برای پیش‌بینی میدان جریان مناسب به‌نظر می‌رسد.

در ادامه با هدف بررسی عدم وابستگی میدان حل به شبکه‌بندی کوچک‌تر، نتایج شبکه‌ی انتخابی « $17 \times 17 \times 192$ » با شبکه‌بندی ریز « $30 \times 60 \times 322$ »، مقایسه شده‌است و تأثیر شبکه‌بندی بر نتایج حاصل مورد بررسی قرار گرفته‌است. در شکل (۳) پروفیل‌های قائم سرعت مماسی برای هر دو شبکه ارائه شده‌است. در هر دو شبکه، ترم انتقال معادلات حاکم با استفاده از الگوی جهتمند مرتبه‌ی دوم (SOU) منفصل شده‌اند. برای کوپل کردن ترم‌های سرعت و فشار، الگوریتم SIMPLE به‌کار رفته و با توجه به این‌که برای حل میدان جریان، از شبکه‌ی جابه‌جا نشده استفاده شده‌است، با هدف جلوگیری از ناپایداری در محاسبات سرعت و فشار، روش میان‌یابی رای و چاو [21] به‌کار گرفته شده‌است. با دقت در شکل (۳) مشخص است که هر دو شبکه، توانسته‌اند به‌خوبی نحوه‌ی تغییرات

$$\frac{\partial \varepsilon}{\partial t} + u_j \frac{\partial \varepsilon}{\partial x_j} = \frac{\partial}{\partial x_j} \left(\frac{v_T}{\sigma_k} \frac{\partial \varepsilon}{\partial x_j} \right) + c_{\varepsilon 1} \frac{\varepsilon}{k} P_k + c_{\varepsilon 2} \frac{\varepsilon^2}{k} \quad (9)$$

معادلات حاکم بر رسوب

برای محاسبه‌ی انتقال رسوبات، آنرا به دو دسته‌ی بار بستر و بار معلق تقسیم می‌کنند که غلظت بار معلق از معادله‌ی انتقال-انتشار به صورت زیر محاسبه می‌شود:

$$\frac{\partial c}{\partial t} + U_i \frac{\partial c}{\partial x_i} + w \frac{\partial c}{\partial z} = \frac{\partial}{\partial x_i} \left(\Gamma \frac{\partial c}{\partial x_i} \right) \quad (10)$$

که در آن c غلظت رسوبات، w سرعت سقوط، U سرعت جریان، x بعد فضا و Γ مجموع ضریب پخشیدگی آشفتگی و ضریب پخشیدگی ملکولی می‌باشد و مقدار Γ به صورت حاصل تقسیم لزجت آشفتگی ($v_t = \mu_t / \rho$) بر عدد اسمیت (که مقدار آن بین

۰/۷ تا ۱/۰ منظور می‌گردد) نوشته می‌شود [20].

$$\Gamma = \frac{v_t}{\sigma_s} \quad (11)$$

برای محاسبه‌ی غلظت رسوبات نزدیک بستر در SSIM از فرمول فن‌راین استفاده می‌شود، که رابطه‌ی آن به صورت زیر می‌باشد:

$$C_{bed} = 0.015 \frac{d^{0.3}}{a} \frac{\left(\frac{\tau - \tau_c}{\tau_c} \right)^{1.5}}{\left(\frac{\rho_s - \rho}{\rho v^2} \right)} \quad (12)$$

که در آن C_{bed} غلظت رسوبات نزدیک بستر، d قطر ذرات رسوب، a ارتفاع معادل زبری رسوبات است که مقدار آن زمانی که فرم‌های بستر وجود ندارد، برابر زبری معادل (K_s) و زمانی که فرم بستر وجود دارد برابر نصف ارتفاع متوسط فرم‌های بستر می‌باشد، τ تنش برشی بستر، τ_c تنش برشی بحرانی برای حرکت رسوبات، ρ و ρ_s به ترتیب جرم واحد حجم آب و دانه‌های رسوبی می‌باشند.

جدول ۲ مقایسه‌ی زمان اجرای محاسبات برای دو شبکه‌ی ریز و درشت

شبکه	طرح انفصال	CPU Time (min)
۱۹۲×۴۲×۱۷	SOU	80
۳۲۲×۶۰×۳۰	SOU	370

معادلات حاکم بر میدان جریان

قوانین حاکم عبارتند از قانون بقای جرم و قانون بقای مومنتم که در حالت جریان آشفته و به صورت متوسط‌گیری شده در زمان، معادلات پیوستگی (۴) و رینولدز (۵) از آنها استخراج می‌شود:

$$\frac{\partial \rho u_i}{\partial x_i} = 0 \quad (4)$$

$$\frac{\partial (\rho u_i)}{\partial t} + \frac{\partial (\rho u_i u_j)}{\partial x_j} = - \frac{\partial P}{\partial x_i} + \frac{\partial}{\partial x_j} \mu \left[\frac{\partial u_i}{\partial x_j} + \frac{\partial u_j}{\partial x_i} \right] + \frac{\partial (-\rho \overline{u_i' u_j'})}{\partial x_j} \quad (5)$$

جملات $-\rho \overline{u_i' u_j'}$ به عنوان تنش‌های رینولدز شناخته می‌شوند. این معادلات شامل چهار مجهول مؤلفه‌های سرعت در سه جهت و فشار می‌باشند. از طرفی معادله‌ی مومنتم حاوی شش مؤلفه‌ی مجهول تنش رینولدز است، لذا سیستم معادلات فوق بسته نیست و بایستی با استفاده از مدل آشفتگی مناسب تنش‌های رینولدز محاسبه شوند. در این مقاله از مدل آشفتگی $k-\varepsilon$ استفاده شده است. مدل $k-\varepsilon$ میزان لزجت گراده را طبق رابطه زیر محاسبه می‌کند:

$$v_T = c_\mu \frac{k}{\varepsilon} \quad (6)$$

در رابطه فوق k انرژی جنبشی آشفتگی می‌باشد که به صورت زیر مدل می‌شود:

$$k = \frac{1}{2} \overline{u_i u_i} \quad (7)$$

$$\begin{cases} \frac{\partial k}{\partial t} + u_j \frac{\partial k}{\partial x_j} = \frac{\partial}{\partial x_j} \left(\frac{v_T}{\sigma_k} \frac{\partial k}{\partial x_j} \right) + P_k - \varepsilon \\ P_k = v_T \frac{\partial u_j}{\partial x_i} \left(\frac{\partial u_j}{\partial x_i} + \frac{\partial u_i}{\partial x_j} \right) \end{cases} \quad (8)$$

اتلاف مقدار k به صورت ε بیان می‌شود:

اولیهی آب در کانال از پارامتر استریکلر (K_{st}) استفاده می‌کند که در این رابطه n ضریب مانینگ می‌باشد:

$$K_{st} = \frac{1}{n} \quad (16)$$

وانونی در سال (۱۹۷۵) رابطه‌ی زیر را برای محاسبه‌ی ضریب مانینگ ارائه داده‌است [22]:

$$n = \frac{k_s^{1/6}}{26} \quad (17)$$

که در آن k_s زبری مؤثر ضریبی از d_{50} می‌باشد. به منظور واسنجی مدل، با جای‌گذاری $k_s = 1d_{50} = 0.00128m$ براساس رابطه‌ی ونونی حدس اولیه برای $k_{st} = 78.8$ به دست می‌آید که نتایج حاصل از مدل‌سازی با مقدار اخیر برای k_{st} نشان می‌دهد سطح آب محاسبه‌شده در بالادست کمتر از حد انتظار است و لذا مدل‌سازی با مقادیر مختلف k_s تکرار می‌شود تا ارتفاع سطح آب در بالادست منطبق بر مقدار آزمایشگاهی گزارش شده گردد. نتایج حاصل از تکرار مدل‌سازی نشان می‌دهد که در $k_s = 1.7d_{50}$ ارتفاع سطح آب در ابتدای کانال هماهنگی مناسبی دارد. علاوه بر این با در نظر گرفتن $k_s = 1.7d_{50}$ پروفیل سرعت در نزدیک کف هماهنگی بهتری با داده‌های آزمایشگاهی نشان می‌دهد.

به‌ازای مقدار بهینه‌ی به‌دست آمده برای ضریب مانینگ، مقادیر عددی و آزمایشگاهی پروفیل سرعت مماسی و شعاعی در مقطع عرضی ۳۰ درجه (به‌عنوان نمونه) با فواصل شعاعی ۵، ۱۵، ۲۵، ۳۵، ۴۵ و ۵۵ سانتی‌متر از لبه‌ی داخلی قوس بر روی بستر صلب با قطر ذرات بستر ۱/۲۸ میلی‌متر و دبی آبیگری ۳۰٪ برداشت شده و با نتایج عددی مقایسه شده‌است (شکل ۴). در این مقایسه محاسبات میانگین خطا برای سرعت مماسی ۳/۶۷٪ و برای سرعت شعاعی ۸/۷۹٪ می‌باشد. هم‌چنین تغییرات پروفیل سطح آب در امتداد خط مرکز کانال حاصل از مدل عددی در شکل (۵) با مقادیر آزمایشگاهی مقایسه شده‌است.

فرمول تجربی بار بستر به‌طور پیش‌فرض Van Rijn استفاده می‌شود که به‌صورت زیر می‌باشد:

$$\frac{q_b}{d_{50}^{1.5} \sqrt{(s-1)g}} = 0.053 \frac{T^{2.1}}{D_*^{0.3}} \quad (13)$$

در این رابطه که برای ذرات با قطر متوسط ۲۰۰ تا ۲۰۰۰ میکرون ارائه شده‌است، q_b نرخ انتقال بار بستر در واحد عرض و d_{50} قطر متوسط ذرات رسوب می‌باشد. D_* نیز پارامتر بدون بعد قطر ذره و T پارامتر انتقال می‌باشند و از روابط زیر به دست می‌آیند. در این روابط، s چگالی نسبی رسوبات و v لزجت سینماتیکی سیال می‌باشد.

$$D_* = d_{50} \left(\frac{(s-1)g}{v^2} \right)^{1/3} \quad (14)$$

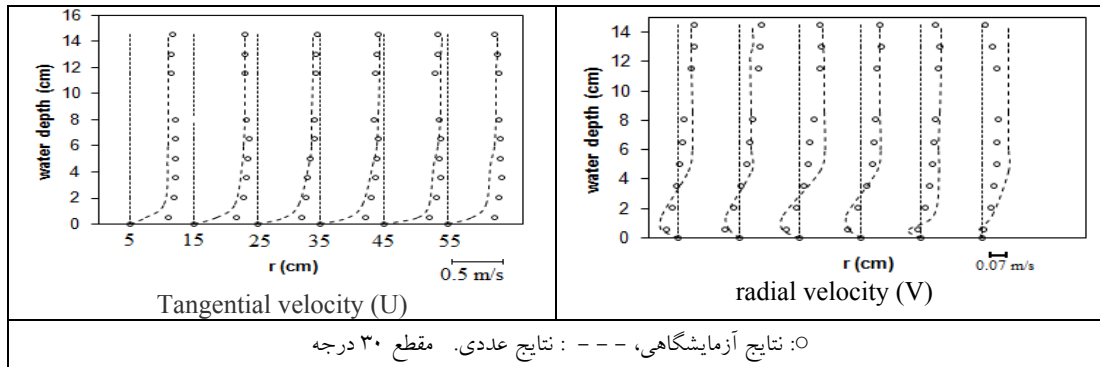
$$T = \frac{\tau - \tau_c}{\tau_c} = \frac{u_*'^2 - u_{*c}^2}{u_{*c}^2} \quad (15)$$

u_*' سرعت برشی بستر و u_{*c} سرعت برشی بحرانی نمودار شیلدز است.

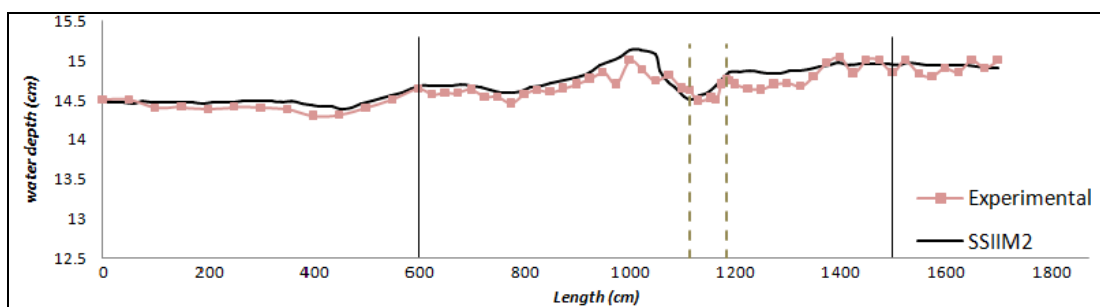
نکته‌ی قابل ذکر در مورد مدل عددی SSIM2 در زمینه‌ی شبیه‌سازی رسوب این است که مدل علاوه بر فرمول فن‌راین از فرمول‌های دیگری مانند هانسن، وایت، یانگ، هانگ و انیشتین استفاده کند.

واسنجی مدل عددی

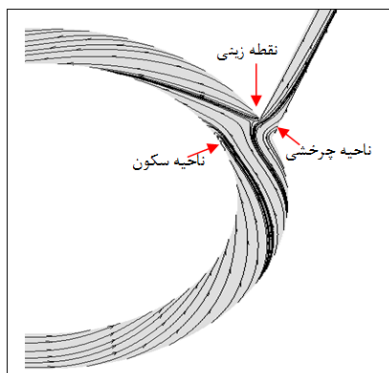
پارامتر زبری در SSIM با دو هدف مورد استفاده قرار می‌گیرد. محاسبه‌ی سطح آب اولیه در کانال برای تعریف هندسه‌ی اولیه‌ی میدان، که با استفاده از الگوریتم یک‌بعدی برگشت آب استاندارد انجام می‌شود و دیگری محاسبه و پیش‌بینی تنش برشی در مرزهای میدان. SSIM برای محاسبه‌ی ارتفاع سطح



شکل ۴: مقایسه‌ی نتایج آزمایشگاهی و عددی پروفیل‌های قائم سرعت مماسی و سرعت شعاعی در مقاطع ۳۰ درجه قوس



شکل ۵: مقایسه‌ی پروفیل سطح آب در میانه‌ی کانال حاصل از مدل عددی و نتایج آزمایشگاهی



شکل ۶: الگوی جریان در تراز ۳ میلی‌متری از کف

با استفاده از نتایج میدان جریان حاصل از مدل عددی قدرت جریان ثانویه در قوس به صورت کمی بررسی شده است. معیار مهمی که برای قدرت جریان ثانویه در مراجع بدان اشاره شده است، معیار چرخش می‌باشد. طبق تعریف، نرخ خالص چرخش پادساعتگرد یک المان به ابعاد $\Delta x * \Delta y$ حول محور Z ، قدرت گرداب نامیده می‌شود و به صورت رابطه‌ی (۱۸) قابل

بررسی الگوی جریان در تراز نزدیک بستر و قدرت جریان ثانویه

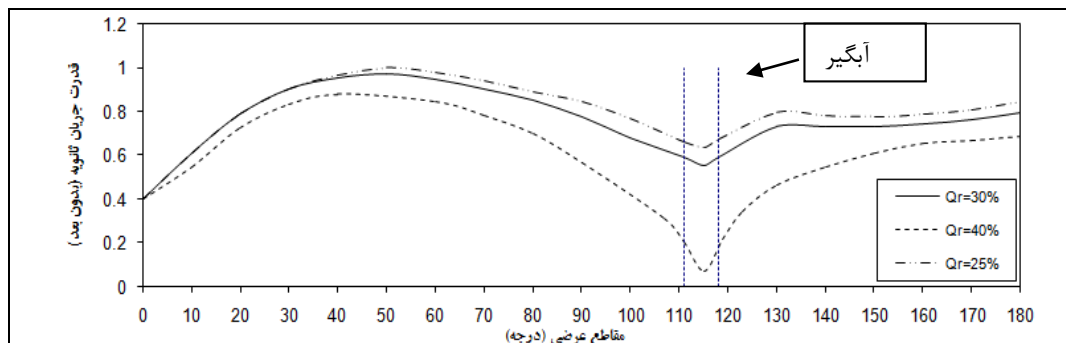
شکل (۶) خطوط جریان در سه صفحه‌ی نزدیک بستر مدل عددی را نشان می‌دهد. این شکل بیانگر این موضوع است که در ابتدای کانال خطوط جریان به شدت به سمت دیواره‌ی داخلی کشیده می‌شوند. الگوی کلی حاکم بر تراز نزدیک بستر انحراف به سمت جدار داخلی است. لذا انتظار داریم در یک کانال با بستر متحرک، مصالح کف به سمت دیواره‌ی داخلی حرکت کنند. خطوط جریان در جلوی دهانه‌ی آبگیر دارای برخی خصوصیات بارز و نقاط خاص می‌باشند که می‌توان از آن جمله به ناحیه‌ی چرخشی، ناحیه‌ی سکون که محل به دام افتادن رسوبات است و نقطه‌ی زینی که در ادامه شاهد خواهیم بود محل ورود رسوبات به آبگیر از این نقطه می‌باشد، اشاره کرد. در مقاطع بعد از آبگیر، برعکس مقاطع ورودی، مسیر حرکت ذرات به تدریج طولانی‌تر می‌شود و پس از خروج از قوس حالت موازی پیدا می‌کنند.

بررسی توپوگرافی بستر کانال قوسی در زمان تعادل در شکل (۸) توپوگرافی بستر در زمان تعادل حاصل از مدل عددی و مدل آزمایشگاهی برای $Q_r=30\%$ نشان داده شده است. همان‌گونه که مشاهده می‌شود الگوی توپوگرافی بستر شبیه‌سازی شده توسط مدل تطابق بسیار خوبی با نتایج آزمایشگاهی دارد و مدل عددی تقریباً توانسته است پدیده‌های مورد انتظار در قوس را مانند دیون‌های متناوب و پشته‌های رسوبی در مقاطع ۴۵ و ۱۳۵ درجه به خوبی پیش‌بینی کند. براساس نتایج مدل آزمایشگاهی، زمان تعادل آزمایش‌ها ۶ ساعت تعیین شده است. زمان تعادل زمانی انتخاب شده است که تغییرات فرم‌های بستر شکل گرفته در کانال در زمان ناچیز باشد. لذا زمان تزریق رسوب در مدل عددی ۶ ساعت انتخاب گردید. لازم به ذکر است با کامپیوتر در دسترس این اجرا با گام‌های زمانی ۱۵ ثانیه، ۱۹ ساعت به طول انجامید.

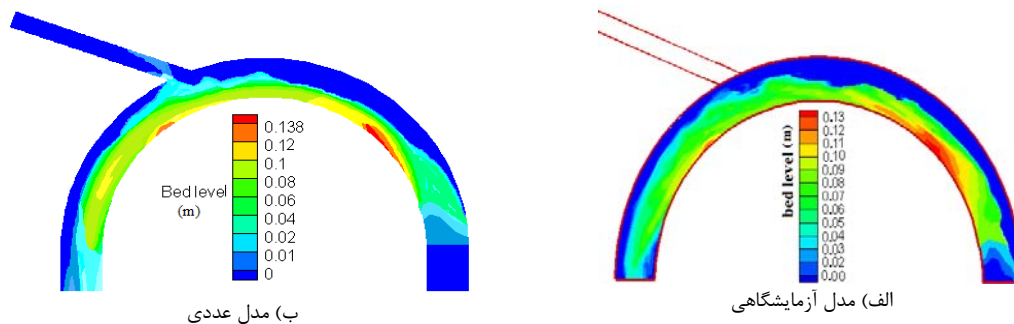
بیان است که در این رابطه $\vec{\omega}_z$ قدرت گردابه می‌باشد.

$$\vec{\omega}_z = \frac{1}{2} \left(\frac{\partial v}{\partial x} - \frac{\partial u}{\partial y} \right) \quad (18)$$

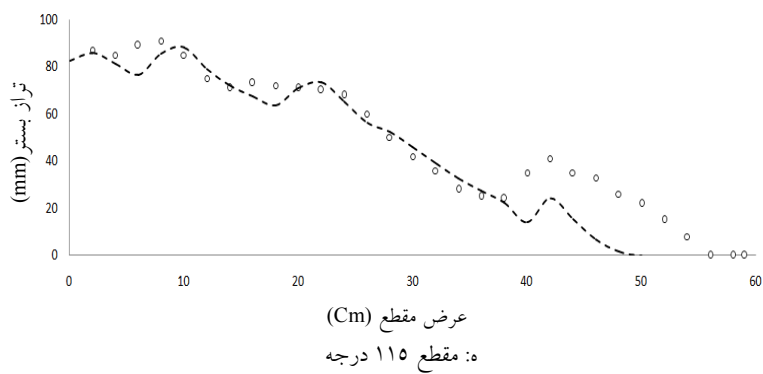
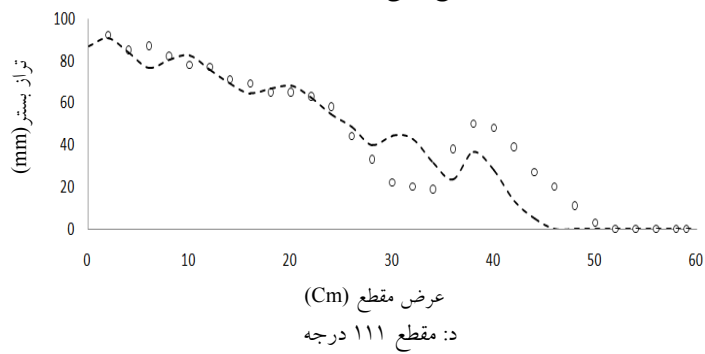
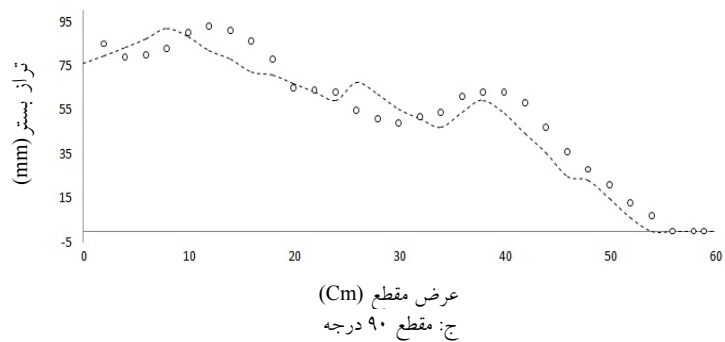
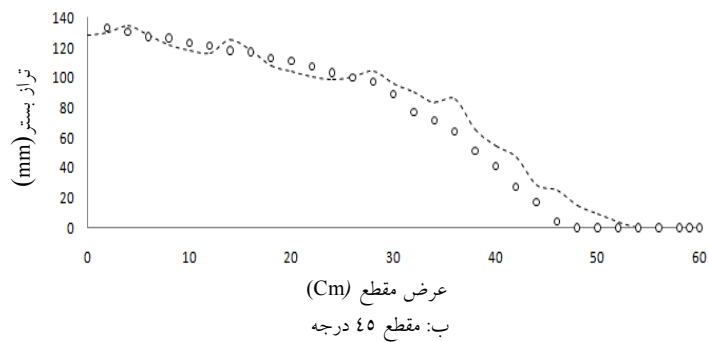
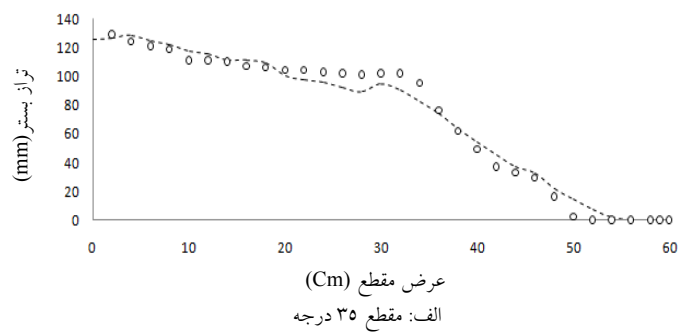
به منظور محاسبه‌ی قدرت جریان ثانویه در قوس با حضور آبگیر با استفاده از روش فوق هر مقطع عرضی براساس شبکه‌بندی که برای اندازه‌گیری جریان به کار برده شد، المان‌بندی گردید و قدرت گردابه برای هر المان محاسبه و با متوسط‌گیری از مقادیر فوق، قدرت متوسط جریان ثانویه در هر مقطع عرضی حاصل گردید. همان‌طور که در شکل (۷) مشاهده می‌شود قدرت جریان ثانویه برای سه دبی آبگیری متفاوت ترسیم شده است که در تمامی این دبی‌های آبگیری جریان ثانویه تا مقطع ۵۰ درجه رشد می‌کند و پس از مقطع ۵۰ درجه دچار افت می‌شود و هرچه دبی آبگیری بیشتر باشد این کاهش قدرت جریان ثانویه محسوس‌تر می‌باشد به گونه‌ای که در وسط دهانه‌ی آبگیر به کمترین مقدار خود می‌رسد. هم‌چنین بعد از آبگیر قدرت جریان ثانویه دچار رشد محسوس می‌گردد.

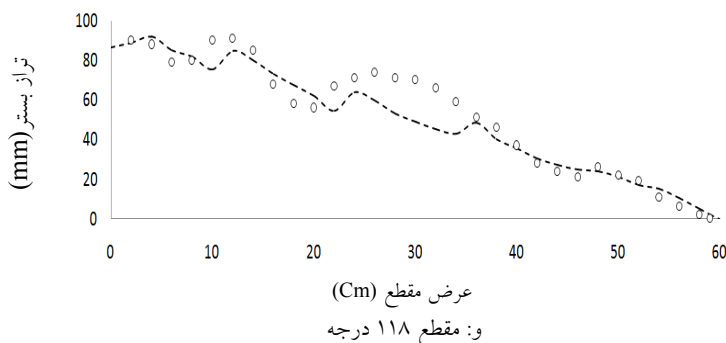


شکل ۷ قدرت جریان ثانویه در طول کانال قوسی با آبگیر جانبی



شکل ۸ توپوگرافی بستر در زمان تعادل حاصل از نتایج مدل عددی و مدل آزمایشگاهی - $Q_r=30\%$





شکل ۹ مقایسه‌ی نتایج آزمایشگاهی و عددی تراز بستر در مقاطع مختلف قوس
 ○: نتایج آزمایشگاهی، ---: نتایج عددی

$$E_M = \frac{1}{N} \sum_{i=1}^N (Z_{Mi} - Z_{Pi}) \quad (20)$$

که در روابط بالا E_{RMS} ریشه‌ی متوسط مربع خطا ها، E_M متوسط خطا ها، N تعداد داده های آزمایشگاهی و Z_{Pi} ، Z_{Mi} به ترتیب تراز بستر حاصل از نتایج آزمایشگاهی و عددی می‌باشد. مقدار خطاهای محاسبه شده برای هر مقطع عرضی در جدول (۳) نشان داده شده است.

مطالعه‌ی مکانیسم شکل‌گیری توپوگرافی بستر در کانال

به منظور بررسی روند حرکت رسوبات در کانال قوسی و مکانیسم شکل‌گیری توپوگرافی بستر، مدل در زمان‌های ۱۰، ۲۵، ۳۵، ۴۵ و ۶۰ دقیقه از زمان شروع تزریق رسوب برای دبی آبیگری ۳۰٪ اجرا شده و با نتایج آزمایشگاهی مقایسه شده است (شکل ۱۰).

با ورود رسوبات به قوس، تا زاویه‌ی ۱۰ درجه از قوس، ذرات رسوب به صورت یکنواخت در عرض کانال حرکت می‌کنند و با قدرت گرفتن جریان ثانویه از این مقطع ذرات رسوب به سمت دیواره‌ی داخلی متمایل می‌شوند و رسوبات در کنار دیواره‌ی داخلی شروع به پیش روی می‌کنند و در زاویه‌ی ۴۵ درجه از

در شکل (۹) نتایج مدل عددی و آزمایشگاهی مربوط به تغییرات عرضی تراز بستر در مقاطع عرضی ۳۵، ۴۵، ۹۰، ۱۱۱، ۱۱۵ و ۱۱۸ در جهه در حالت دبی آبیگری ۳۰٪ پس از زمان تعادل آزمایش‌ها با هم مقایسه شده است. همان‌گونه که در این شکل دیده می‌شود الگوی کلی نتایج حاصل از مدل سازی عددی همخوانی مناسبی با نتایج آزمایشگاهی نشان می‌دهد. به دلیل وجود جریان حلزونی که در کانال قوسی وجود دارد و جهت آن که در کف از قوس خارج به سمت قوس داخل است، ارتفاع توپوگرافی بستر در دیواره‌ی داخلی بیشتر از دیواره‌ی خارجی است. هم‌چنین وجود ناهمواری‌های بستر نزدیک قوس خارجی ناشی از حرکت دیون‌ها است که با مشاهدات آزمایشگاهی نیز تطابق دارد. در مقاطع ۱۱۱، ۱۱۵ و ۱۱۸ در جهه که به ترتیب ابتدا، میانه و انتهای دهانه‌ی آبیگری می‌باشد، به دلیل مکش آبیگری و کاهش قدرت جریان حلزونی ذرات رسوب شکل پهن تری به خود می‌گیرند و در عرض کانال توسعه می‌یابند.

در ادامه با استفاده از دو شاخص آماری به مقایسه‌ی نتایج تراز بستر حاصل از داده‌های آزمایشگاهی و عددی پرداخته شده است. این دو شاخص آماری عبارتند از:

$$E_{RMS} = \sqrt{\frac{1}{N} \sum_{i=1}^N (Z_{Mi} - Z_{Pi})^2} \quad (19)$$

آبگیر بر اثر مکش آبگیر ر سوبات به سمت پایین دست آبگیر متمایل می‌شوند و در لبه‌ی پایین دست آبگیر تجمع می‌نمایند و ورود رسوبات به درون آبگیر از همین نقطه آغاز می‌شود.

قوس نزدیک به دیواره‌ی داخلی یک پشته‌ی رسوبی تشکیل می‌شود و این پشته‌ی رسوبی در این موقعیت تثبیت می‌گردد. علاوه بر این از مقطع ۷۰ درجه قوس، دیون‌های تناوبی که به سمت قوس خارجی متمایل هستند تشکیل می‌گردند و با نزدیک شدن ر سوبات به

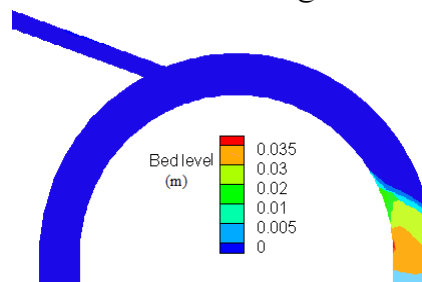
جدول ۳ مقایسه‌ی خطاهای تراز بستر حاصل از نتایج عددی و آزمایشگاهی

Cross-section(°)	ERMS (mm)	EM (mm)	خطا بصورت درصدی از مقدار آزمایشگاهی
35	6.3453	-0.3162	-0.45%
45	9.8274	-4.9464	-7.18%
90	7.85190	3.1488	5.85%
111	11.3828	2.5748	6.1%
115	10.9528	5.6512	11.96%
118	9.0184	3.0879	5.95%

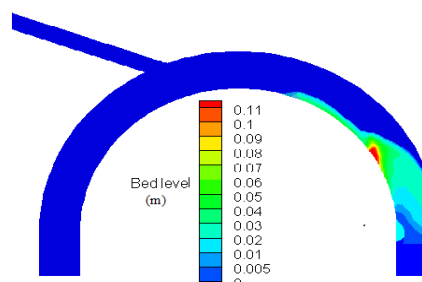
نتایج حاصل از مدل آزمایشگاهی



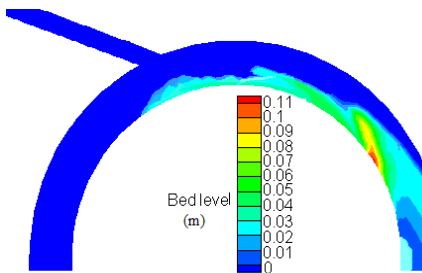
نتایج حاصل از مدل عددی



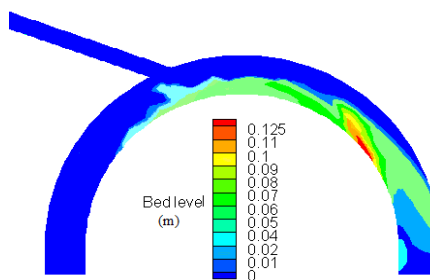
الف) زمان ۱۰ دقیقه از شروع تزریق



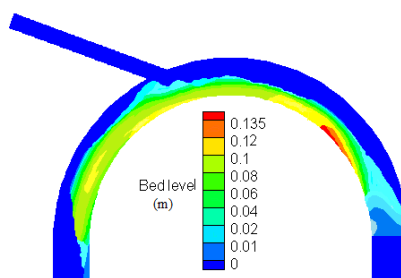
ب) زمان ۲۵ دقیقه از شروع تزریق



پ) زمان ۳۵ دقیقه از شروع تزریق



ت) در زمان ۴۵ دقیقه از شروع تزریق



ج) در زمان ۶۰ دقیقه از شروع تزریق

شکل ۱۰ شکل‌گیری توپوگرافی بستر برای دبی آگیری ۳۰٪

به پایین‌دست آبگیر انتقال یابد و توپوگرافی نیمه‌ی دوم قوس در این زمان برخلاف دبی آگیری ۳۰٪ شکل‌نگیرد که علت آن ورود زیاد رسوبات به درون آبگیر است (شکل ۱۱-ج و ۱۰-ج). هم‌چنین ناحیه‌ای در پایین‌دست آبگیر در قوس داخلی وجود دارد که تا اواسط آزمایش در آن رسوب‌گذاری اتفاق نمی‌افتاد. این ناحیه با عنوان ناحیه‌ی جدایی جریان در شکل (۱۱-ج) نشان داده شده‌است. بررسی توپوگرافی بستر در زمان تعادل، برای دبی آگیری ۴۰٪ نمایانگر وجود دو پشته‌ی رسوبی بستر در مقاطع ۴۵ و ۱۲۷ درجه قوس می‌باشد.

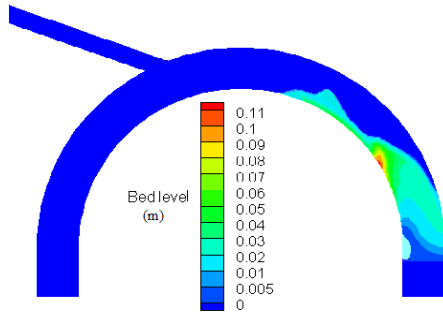
در حالت کاهش دبی آگیری به ۲۵٪ توپوگرافی رسوبات توسعه‌ی عرضی کمتری به سمت قوس خارجی می‌یابد و بیشتر در امتداد دیواره‌ی داخلی به سمت پایین‌دست حرکت می‌کند (شکل ۱۲-الف، ب، پ). در این حالت رسوبات فقط از لبه‌ی پایین‌دست آبگیر به درون کانال آبگیر راه می‌یابند (شکل ۱۲-ت). نکته‌ی قابل توجه این است که در همه‌ی حالات مختلف آگیری دو پشته‌ی رسوبی نزدیک دیواره‌ی داخلی در مقاطع ۴۵ و ۱۳۵ درجه‌ی قوس تشکیل

مطالعه‌ی پارامتریک روی اثر دبی آگیری

به‌منظور بررسی اثر دبی آگیری بر نحوه‌ی حرکت رسوبات، تغییرات زمانی توپوگرافی بستر برای دو دبی آگیری ۲۵٪ و ۴۰٪ مورد مطالعه قرار گرفته‌است. افزایش دبی آگیری از ۳۰٪ به ۴۰٪ تا حوالی مقطع ۶۰ درجه از کانال خمیده تأثیری بر روی توپوگرافی بستر ندارد اما بعد از مقطع ۶۰ درجه به‌دلیل مکش بیشتر آبگیر پروفیل بستر توسعه‌ی عرضی بیشتری نسبت به حالت ۳۰٪ دارد. به عبارت دیگر ذرات رسوب به سمت دیواره‌ی خارجی متمایل می‌شوند و هم‌چنین ارتفاع پشته‌های رسوبی در نزدیک دیواره‌ی داخلی تا حدودی کاهش می‌یابد (شکل ۱۳). مکانیسم ورود رسوبات به آبگیر مانند دبی آگیری ۳۰٪ از لبه‌ی پایین‌دست آبگیر به درون آبگیر آغاز می‌گردد (شکل ۱۱-ت). اما به‌دلیل افزایش دبی آگیری که نتیجه‌ی آن توسعه‌ی عرضی بیشتر پروفیل بستر می‌باشد، ورود رسوبات از لبه‌ی بالادست آبگیر نیز که ناشی از عبور متناوب دیون‌های تشکیل شده در امتداد دیواره‌ی خارجی قوس است، انجام می‌گیرد (شکل ۱۱-ج). افزایش دبی آگیری موجب می‌شود در یک زمان مساوی، رسوبات کمتری

توپوگرافی بستر ملاحظه می‌شود تناوبی بودن دیون‌ها می‌باشد که دلیل آن نوسانات سرعت عرضی در قوس است.

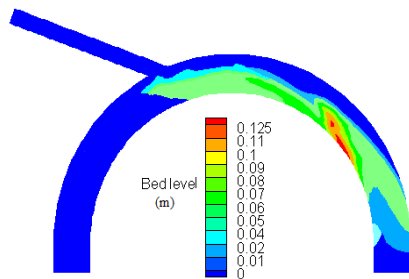
می‌شود که ارتفاع پشته‌ی رسوبی دوم نسبت به پشته‌ی رسوبی اول کمتر است. دلیل این امر کاهش قدرت جریان ثانویه بعد از آنگیر به علت انحراف بخشی از جریان توسط آنگیر است. نکته‌ی دیگری نیز که در



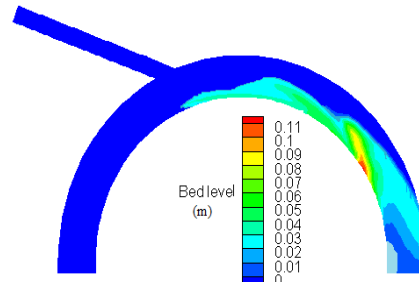
ب) نتایج مدل عددی در زمان ۲۵ دقیقه از شروع تزریق



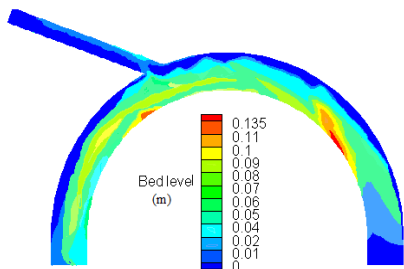
الف) نتایج مدل عددی در زمان ۱۰ دقیقه از شروع تزریق



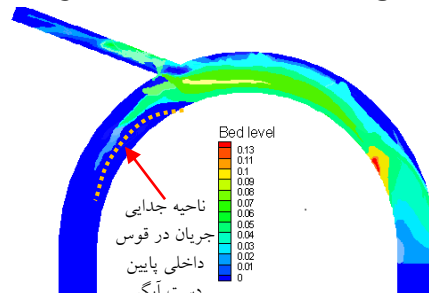
ت) نتایج مدل عددی در زمان ۴۵ دقیقه از شروع تزریق



پ) نتایج مدل عددی در زمان ۳۵ دقیقه از شروع تزریق

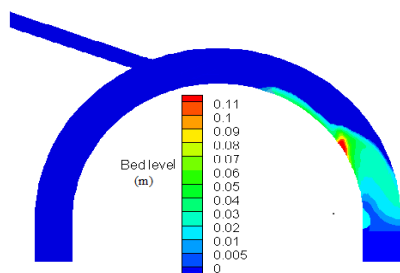


□) زمان تعادل

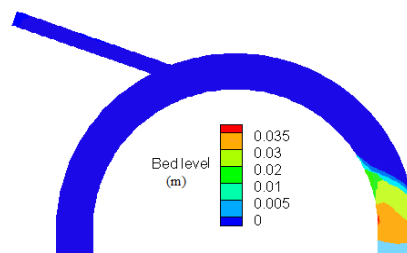


ج) نتایج مدل عددی در زمان ۶۰ دقیقه از شروع تزریق

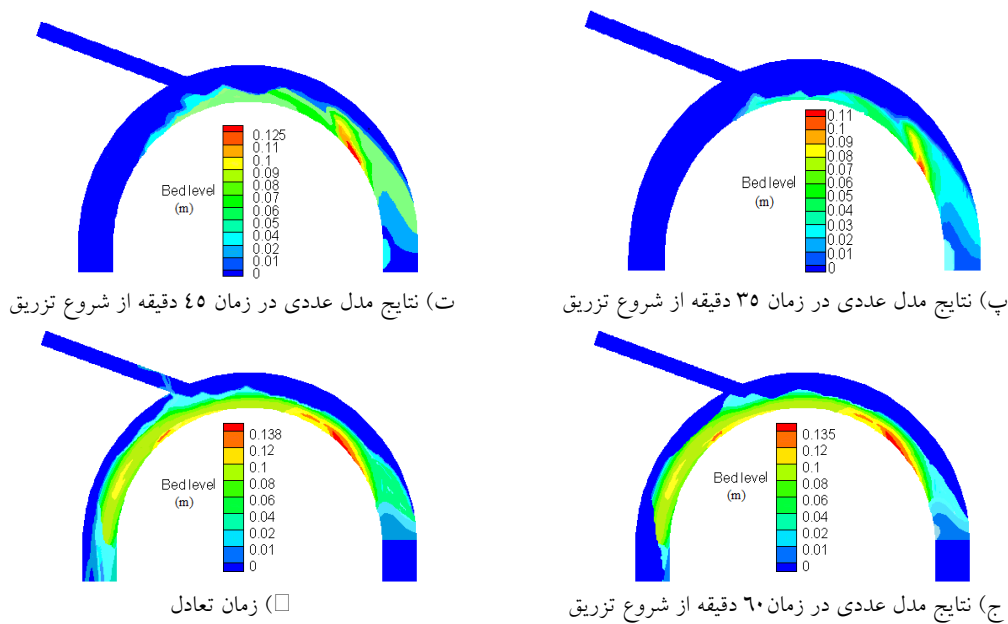
شکل ۱۱ نحوی حرکت ذرات رسوب برای دبی آنگیری ۴۰٪



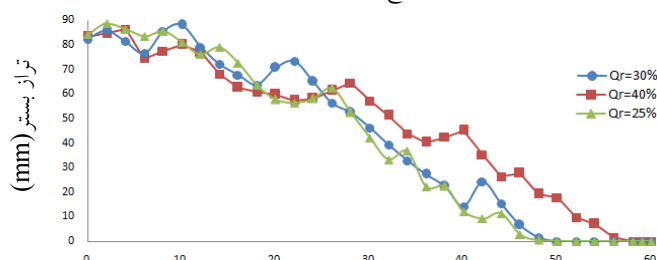
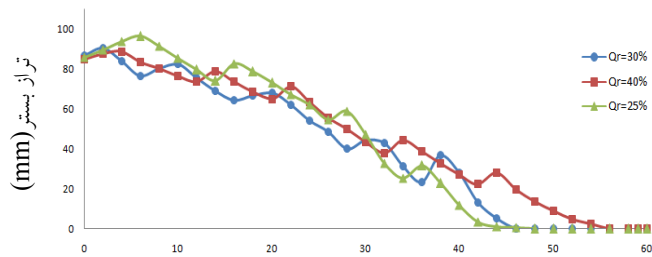
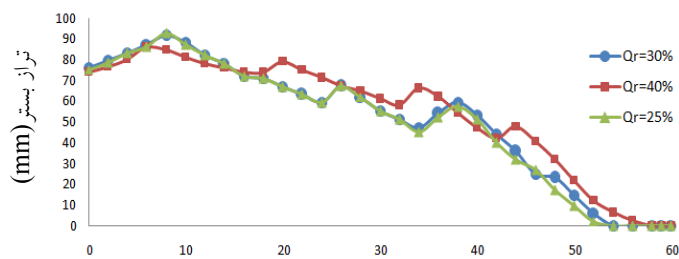
ب) نتایج مدل عددی در زمان ۲۵ دقیقه از شروع تزریق

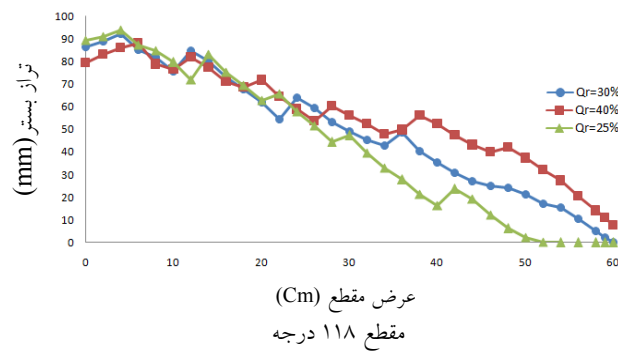


الف) نتایج مدل عددی در زمان ۱۰ دقیقه از شروع تزریق



شکل ۱۲ شکل‌گیری توپوگرافی بستر برای آبیگری ۲۵٪





شکل ۱۳ تغییرات عرضی تراز بستر برای دبی‌های آبیگری مختلف

درجه قوس، دیون‌های تناوبی که به سمت قوس خارجی متمایل هستند تشکیل می‌گردند. با نزدیک شدن رسوبات به آبگیر بر اثر مکش آبگیر رسوبات به سمت لبه پایین دست آبگیر متمایل می‌شوند و در لبه‌ی پایین دست آبگیر تجمع می‌نمایند و ورود رسوبات به درون آبگیر از همین نقطه برای کلیه‌ی دبی‌های آبیگری آغاز می‌شود. در دبی آبیگری ۴۰٪ پس از شکل‌گیری فرم‌های بستر در بالادست آبگیر و توسعه‌ی عرضی پروفیل بستر، دیون‌هایی که از مقطع ۷۰ درجه شکل می‌گیرند به صورت تناوبی از لبه‌ی بالادست آبگیر وارد آبگیر می‌شوند در حالی که در دبی آبیگری ۳۰٪ و ۲۵٪ رسوبات فقط از لبه‌ی پایین آبگیر وارد می‌شوند. پس از زمان تعادل آزمایش‌ها، یک پشته‌ی رسوبی در نیمه‌ی اول قوس و یک پشته‌ی رسوبی دیگر در نیمه‌ی دوم قوس در مقاطع ۴۵ و ۱۳۵ درجه شکل می‌گیرد که ارتفاع پشته‌ی رسوبی دوم نسبت به پشته‌ی رسوبی اول کمتر است.

نتیجه‌گیری

در این مقاله با استفاده از مدل عددی سه‌بعدی SSIM2 به بررسی توپوگرافی بستر و نحوه‌ی حرکت رسوبات در کانال قوسی و با حضور آبگیر جانبی با روش تزریق رسوب روی بستر صلب پرداخته شده است. نتایج حاصل در این مقاله نشان می‌دهند مدل عددی استفاده شده، که یکی از مدل‌های سه‌بعدی در دسترس مهندسان می‌باشد، در شبیه‌سازی توپوگرافی بستر و نحوه‌ی حرکت رسوبات توانایی قابل قبولی دارد. بررسی زاویه‌ی ۱۰ درجه از قوس به صورت یکنواخت در عرض کانال حرکت می‌کنند و با قدرت گرفتن جریان ثانویه از این مقطع به سمت دیواره‌ی داخلی متمایل می‌شوند و رسوبات در کنار دیواره‌ی داخلی شروع به پیش‌روی می‌کنند و در زاویه‌ی ۴۵ درجه از قوس یک پشته‌ی رسوبی تشکیل می‌دهند و این پشته‌ی رسوبی در این موقعیت تثبیت می‌گردد. علاوه بر این از مقطع ۷۰

مراجع

1. Rozovskii, I. L. "Flow of Water in Bend of Open Channel", Kiev: Institute of Hydrology and Hydraulic Engineering, Academy of Sciences of the Ukrainian SSR, (1957).
2. Yen, B.C. and K.T. Lee. "Characteristics of Subcritical Flow in Meandering Channel", University of Iowa, Iowa, (1965).
3. Yen, C. L., "Bed configuration and characteristics of subcritical flow in meandering channel sorting in channel bend with unsteady flow", PhD thesis, University of Iowa, Iowa, (1967).
4. Engelund, F., "Flow and bed topography in channel bends", *J. Hydraulic Div.*, Vol. 100 No.11, pp.1631-1648, (1974).
5. Kikkawa, H., Ikeda, S and Kitagawa, A., "Flow and bed topography in curved open channel", *J.*

- Hydraulic Div.*, Vol. 102, No. 9, pp. 1327-1342, (1976).
6. Falcon, M. A., and Kennedy, J. F., "Flow in alluvial river curves", *J. Fluid Mech.*, Vol. 133, pp. 1-16, (1983).
 7. Allen, J. R. L., "A quantitative model of grain size and sedimentary structures in lateral deposits", *Geological J.*, Vol. 7, pp. 129-146, (1970).
 8. Koch, F. G. and Flukstra, C., "Bed level computations for curved alluvial channels", Proc. XIXth congress of the Int. Assoc. for Hydraul. Res., New Delhi, India, 2, Vol. 357, (1981).
 9. Odgaard, A. J., "Bed characteristics in alluvial channel bends", *J. Hydraulic Div.*, Vol. 108 No.11, pp.1268-1281, (1982).
 10. Odgaard, A. J., and Bergs, M. A., "Flow processes in a curved alluvial channel", *Water Resour. Res.*, Vol. 24, pp. 45-56, (1988).
 11. Shafai bajestan, M., Nazari, S., "The impression of the diversion angle of intake on the entering sediments to the lateral intakes at the vertical bond of river", *J. Agric.*, Chamran University, Vol. 22, No. 1, (1999).
 ۱۲. پیرستانی، محمدرضا، "بررسی الگوی جریان و آبستگي در دهانه‌ی ورودی آبیگر کانال‌های دارای انحنا"، رساله‌ی دکتری، دانشگاه آزاد اسلامی، واحد علوم و تحقیقات تهران، (۱۳۸۳).
 ۱۳. دهقانی، امیر احمد، "مطالعه‌ی آزمایشگاهی کنترل رسوب ورودی به آبیگر جانبی در قوس ۱۸۰°"، رساله‌ی دکتری، دانشگاه تربیت مدرس، (۱۳۸۵).
 ۱۴. ابوالقاسمی، م. "کنترل رسوب ورودی به آبیگرهای جانبی در مئاندر رودخانه"، رساله‌ی دکتری، دانشکده‌ی کشاورزی دانشگاه تربیت مدرس، (۱۳۸۵).
 ۱۵. منتصری، حسین، "کنترل رسوب ورودی به آبیگر جانبی با استفاده از صفحات مستغرق در قوس ۱۸۰ درجه"، رساله‌ی دکتری، دانشگاه تربیت مدرس، (۱۳۸۷).
 ۱۶. منصوری، امیر رضا، "شبیه‌سازی سه‌بعدی تغییرات بستر در قوس ۱۸۰ درجه"، پایان‌نامه‌ی کارشناسی ارشد، دانشگاه تربیت مدرس، (۱۳۸۵).
 ۱۷. شکیبائی‌نیا، احمد، زراتی، امیررضا و مجدزاده طباطبایی، محمدرضا، "کاربرد مدل‌سازی عددی سه‌بعدی در شبیه‌سازی پدیده‌های پیچیده‌ی مهندسی رودخانه"، نشریه‌ی دانشکده‌ی فنی، دوره‌ی ۴۲، شماره‌ی ۴، صص. ۴۴۳-۴۵۵، (۱۳۸۷).
 ۱۸. کرمی‌مقدم، مهدی، شفاعی‌بجستانی، محمود و صدقی، حسین، "مطالعه‌ی آزمایشگاهی و عددی الگوی جریان در آبیگر ۳۰ درجه من شعاع از کانال ذورنقه‌ای"، مجله‌ی علوم و فنون کشاورزی و منابع طبیعی، علوم آب و خاک، سال پانزدهم، شماره‌ی پنجاه و هفتم، صص. ۳۵-۴۷، (۱۳۹۰).
 19. Van Rijn L. C., "Sediment transport, part II: suspended load transport", *Journal of Hydraulic Engineering*, ASCE; Vol.110, No.11, pp. 1613-1641, (1984).
 20. Olsen, N. R. B., "SSIIM Users' Manual", The Norwegian University of Science and Technology, (2004).
 21. Rhie, C. M., and Chow, W. L., "Numerical study of the turbulent flow past an airfoil with trailing edge separation", *J. AIAA*, Vol. 21, pp. 1525-1532, (1983).
 22. Vanoni, V.A. "Sediment Engineering", ASCE Manuals and reports on engineering practice-No 54, New York, (1975).